

مقایسه شبکه پایش کروم آبخوان دشت بیرجند با استفاده از روش آنالیز مؤلفه‌های اصلی (PCA) و تئوری آنتروپی

عباس خاشعی سیوکی، علی شهیدی و سمیرا رهنما

دوره ۷، شماره ۲، تابستان ۱۴۰۰، صفحات ۲۳۱ - ۲۲۰

Vol. 7(2), Summer 2021, 220-231

DOI: 10.22034/jewe.2020.254396.1448



www.jewe.ir

OPEN  ACCESS

ارجاع به این مقاله:

خاشعی سیوکی، ع. و رهنما، س. (۱۴۰۰). طراحی شبکه پایش کروم آبخوان دشت بیرجند با استفاده از روش آنالیز مؤلفه‌های اصلی (PCA) و تئوری آنتروپی. محیط‌زیست و مهندسی آب، دوره ۷، شماره ۲، صفحات ۲۳۱ - ۲۲۰.

Citing this paper: Khashei Siuki, A., Shahidi, A. and Rahnama, S. (2021). Comparison of Birjand aquifer chromium monitoring network using principal component analysis (PCA) and entropy theory. Environ. Water Eng., 7(2), 220–231. DOI: 10.22034/jewe.2020.254396.1448

مقاله پژوهشی

مقایسه شبکه پایش کروم آبخوان دشت بیرجند با استفاده از روش آنالیز مؤلفه‌های اصلی (PCA) و تئوری آنتروپی

عباس خاشعی‌سیوکی^{۱*}، علی شهیدی^۲ و سمیرا رهنما^۳

^۱استاد، گروه علوم و مهندسی آب، دانشکده کشاورزی، دانشگاه بیرجند، بیرجند، ایران

^۲دانشیار، گروه علوم و مهندسی آب، دانشکده کشاورزی، دانشگاه بیرجند، بیرجند، ایران

^۳دانشجوی دکتری، گروه علوم و مهندسی آب، دانشکده کشاورزی، دانشگاه بیرجند، بیرجند، ایران

^{*}نویسنده مسئول: abbaskhashei@birjand.ac.ir

تاریخ پذیرش: [۱۳۹۹/۱۰/۰۳]

تاریخ بازنگری: [۱۳۹۹/۰۹/۲۲]

تاریخ دریافت: [۱۳۹۹/۰۸/۰۴]

چکیده

به منظور مدیریت کارا و مؤثر منابع آب زیرزمینی، تعیین نقاط مهم جهت نمونه‌برداری به لحاظ کاهش حجم نمونه‌ها و صرفه‌جویی در هزینه و زمان بسیار مهم است. در این مطالعه با استفاده از روش آنالیز مؤلفه‌های اصلی و تئوری آنتروپی که روشی کاربردی در ارزیابی سامانه‌های پایش کیفی می‌باشد به طراحی شبکه پایش کروم آبخوان دشت بیرجند پرداخته شد. در این پژوهش، ۲۵ چاه بهره‌برداری آبخوان دشت بیرجند با طول آماری $y_1 = ۱۳۹۷ - ۱۳۹۳$ و $y_2 = ۱۳۹۳ - ۱۳۹۲$ مورد بررسی قرار گرفت. در منطقه موردمطالعه میانگین سالانه پارامتر کروم (شش طرفیتی) آب زیرزمینی با استفاده از تکنیک آنالیز مؤلفه‌های اصلی و تئوری آنتروپی مورد بررسی قرار گرفت تا چاههای نمونه‌برداری مؤثر در آبخوان این دشت مشخص گردد. نتایج نشان داد که از بین ۲۵ چاه موجود در منطقه موردمطالعه، می‌توان ۱۵ چاه به عنوان چاه شاخص کروم آب زیرزمینی آبخوان دشت بیرجند معرفی نمود که از پراکندگی خوبی در منطقه برخوردار هستند که می‌تواند در کاهش هزینه‌های نمونه‌برداری نقش مهمی داشته باشد. همچنین جهت در نظر گرفتن عامل زمان در تغییرات این روش در دو دوره زمانی ۲ و ۳ ساله انجام شد. نتایج نشان داد که در دوره زمانی $y_1 = ۱۳۹۴ - ۱۳۹۳$ ۱۹ چاه به عنوان چاه مؤثر انتخاب شدند که در دوره زمانی $y_2 = ۱۳۹۵ - ۱۳۹۷$ این تعداد به ۱۷ چاه تقلیل پیدا کرد. تئوری آنتروپی نشان داد که کلیه چاههای موجود در منطقه از اهمیت یکسانی در طراحی شبکه پایش برخوردار هستند.

واژه‌های کلیدی: آب زیرزمینی؛ آنالیز مؤلفه‌های اصلی؛ چاه مؤثر؛ دشت بیرجند

۱- مقدمه

(AsghariMoghaddam and Adigozalpuor 2016). فلزات موجود در منابع آب به صورت طبیعی و یا بر اثر آلودگی وارد منابع آب می‌شوند. هوازدگی طبیعی سنگ‌ها و خاک‌هایی که با منابع آب در تماس هستند، بزرگ‌ترین منبع آلودگی فلزات سنگین در منابع آب زیرزمینی‌اند (AsghariMoghaddam and Adigozalpuor 2016). فلزات سنگین همیشه در ترکیب طبیعی محیط‌زیست وجود داشتند و در شرایط طبیعی در غلظت‌های پایین یافت می‌شدند، اما در اثر فعالیت‌های انسانی مقادیر قابل توجهی از فلزات سنگین وارد محیط‌زیست شدند (Rajaei et al. 2012).

نتایج استفاده از روش‌های PCA جهت ارزیابی کیفیت آب شبکه پایش رودخانه سنت جانز فلوریدای آمریکا نشان داد کلسیم، منزیم، قلیاییت، نیتروژن کل، نیترات محلول و نیتریت از جمله پارامترهای مؤثر در ارزیابی کیفیت آب این رودخانه بودند (Ouyang 2005). مطالعه هیدروشیمیابی آب دریاچه سد کارده و منابع آب زیرزمینی منطقه و تحلیل مؤلفه‌های اصلی نمونه‌های آب نشان داد که کیفیت منابع آب زیرزمینی و سطحی به طور گسترده‌ای وابسته به لیتولوژی است (Mohammadzadeh Heydarizad 2011 and 2011). در مطالعه‌ای بهمنظور بررسی افزایش میزان فلوراید در آب شرب در ۱۱۱ چاه واقع در دو منطقه شانکزی و اینر مانگولیا در چین، روش آنالیز مؤلفه‌های اصلی را به کار برداشت. بر اساس نتایج آن‌ها، افزایش میزان فلوراید در منطقه مانگولیا، عمده‌تاً ناشی از فعالیت‌های کشاورزی و معدن کاوی بود (Hu et al. 2013). همچنین با استفاده از PCA و تحلیل خوش‌های^۱ (CA) کیفیت آب دریاچه آنچار کشمیر هند طی ۴ فصل و برای ۱۳ پارامتر کیفی مورد تحلیل قرار داده شد. نتایج نشان داد که روش PCA به استخراج و شناسایی عوامل تعییر کیفیت آب در فضول مختلف دریاچه کمک می‌کند که عمده‌تاً مربوط به فاضلاب‌های خانگی، رواناب کشاورزی و تنوع فصلی بود (Ishtiyaq et al. 2017).

نتایج پژوهشی که توسط Shahryari et al. (2011) با هدف تعیین میزان کروم و مس در آب‌های زیرزمینی و شبکه آب شرب شهر بیرجند در سال ۱۳۸۸-۸۹ انجام شد نشان داد که با وجود

امروزه یکی از مهم‌ترین مسائلی که محیط‌زیست را بهشدت تهدید می‌کند، آلودگی آب‌های زیرزمینی می‌باشد که از طرق مختلف همانند فعالیت‌های انسانی، صنعتی و غیره ایجاد می‌شوند. ارزیابی کیفیت آب و شناسایی عوامل آلاینده و نقاط آلوده در مناطقی که از منابع آب‌های زیرزمینی برای مصارف شرب استفاده می‌شود بسیار با اهمیت است. از آنجایی که ۸۰٪ بیماری‌های جهان از راه آب منتقل می‌شود، کنترل آلاینده‌های آب اهمیت ویژه‌ای دارد (Shahriyari et al. 2010).

با توجه به پیچیدگی‌های سامانه‌های منابع آب، در اغلب موارد تصمیم‌ها بدون اطلاعات کافی گرفته می‌شوند. معمولاً در تصمیم‌گیری‌های مبتنی بر عدم قطعیت، تمایل به تصمیم‌گیری محافظه‌کارانه وجود دارد. تقریباً در تمامی موارد، اطلاعات کافی برای توصیف رفتار اتفاقی چنین سامانه‌هایی در دسترس نیست. بسیاری از سامانه‌های مهندسی از جمله سامانه‌های محیط‌زیستی و آبی ذاتاً پیچیده بوده و درک محدودی از جزئیات این سامانه‌ها وجود دارد. ارزیابی کارایی سامانه‌های پایش کیفی منابع آب و بهبود مؤلفه‌های مختلف این سامانه‌ها مانند مکان‌یابی بهینه ایستگاه‌های پایش از اهمیت ویژه‌ای برخوردار است. دلیل اصلی اهمیت این موضوع، هزینه‌های قابل توجه این سامانه‌ها می‌باشد. احداث چاه‌های پیزومتری جهت بررسی کیفیت آب زیرزمینی مناطق مختلف آبخوان هزینه‌های زیادی اعم از ماشین آلات حفر چاه، لوله‌گذاری، نگهداری، نمونه‌برداری و غیره داشته و در مواردی حفر چاه‌ها بهدلیل عدم ارتباط و انتقال اطلاعات با سایر چاه‌ها و همچنین در مواردی بهدلیل عدم احداث چاه در محل مناسب، کارایی مناسبی نداشته و هزینه‌های صورت گرفته بی‌اثر می‌شود. طوری که کاهش اطلاعات مازاد می‌تواند در کاهش هزینه‌های سامانه، بدون کاهش میزان و دقت اطلاعات حاصل، تأثیر قابل توجهی داشته باشد. همچنین از بحث‌های مهم در بخش آب‌های زیرزمینی، آلودگی آب‌ها ناشی از فلزات سنگین می‌باشد. فلزات سنگین با توجه به ثبات شیمیایی، تجزیه‌پذیری ضعیف و داشتن قدرت تجمع زیستی در بدن موجودات زنده، به سرعت به آلاینده‌های سمی تبدیل می‌شوند.

^۱Cluster Analysis (CA)

محیط‌زیست و مهندسی آب



تعیین تعداد و موقعیت بهینه چاههای مشاهداتی توسط استفاده نمودند. نتایج به دست آمده نشان داد تعداد چاههای مشاهداتی برابر ۲۸ حلقه (۴۲ چاه مشاهداتی) می‌باشد که بیان‌کننده کاهش % ۵۵ تعداد پیزومترها نسبت به حالت اولیه است. شبیه‌سازی عددی روند تغییرات کروم در آبخوان دشت بیرجند در پژوهشی توسط Farpoor et al. (2019) انجام شد. نتایج آن‌ها نشان داد که تغییرات غلظت این آلاینده به نوسانات سطح آب زیرزمینی بستگی دارد و با افزایش سطح تراز آب می‌توان میزان کروم را در آبخوان کاهش داد.

تاکنون پژوهش‌هایی در زمینه طراحی شبکه پایش کیفی منابع آب زیرزمینی یا سطحی انجام شده است که هدف عمله آن‌ها انتخاب مکان ایستگاه نمونه‌برداری و کاهش تعداد آن‌ها بدون زیادشدن خطای اندازه‌گیری بود و روش‌های مختلفی نیز بدین منظور ارائه شده است نظیر (Khodaverdi et al. 2020), Kavusi et al. (2019), Kavusi et al. (2020), Rezaei et al. (2018) و Jafarzadeh and Khasheisuki (2018) (2015) که عمله این پژوهش‌ها در تلاش‌اند که شبکه پایش را بهینه‌سازی کنند. از طرفی در زمینه استفاده از روش PCA نیز پژوهش‌هایی نظیر Alves, Rahnama and Sayari, (2019) و Zhao et al. (2012) و (2018) انجام گرفته که در این پژوهش‌ها و سایر پژوهش‌ها اغلب از روش PCA در شناسایی مهم‌ترین عوامل تغییر کیفیت آب استفاده شده است؛ بنابراین تاکنون پژوهشی در زمینه پایش پارامتر کیفی و شناسایی چاههای مؤثر انجام‌نشده است. همچنین تأثیر زمان بر تغییرات شبکه پایش در این پژوهش‌ها بررسی نشده است (نظیر Hooshangi et al. (2016) و BabaieHessar et al. (2015)). کیفیت آب زیرزمینی نسبت به زمان تغییرات محسوسی داشته که می‌تواند در انتخاب محل برداشت نمونه‌برداری و تعداد آن‌ها تأثیر بگذارد؛ بنابراین می‌توان نتیجه گرفت بررسی توانایی روش PCA در طراحی شبکه پایش با عنایت به تأثیر گذشت زمان بر شناسایی چاههای نمونه‌برداری مؤثر در آبخوان دشت می‌تواند نوآوری‌های این پژوهش باشد که در سایر پژوهش‌ها به آن پرداخته نشده است. همچنین در ادامه

طبیعی بودن میزان مس، میزان آلدگی آب آسامیدنی شهر بیرجند با کروم خطرناک است. با در نظر گرفتن شرایط محیطی، احتمالاً این آلدگی منشأ زمین‌شناسی دارد که نیازمند مطالعات بیش‌تر و تلاش در جهت رفع آن می‌باشد. در پژوهشی چاههای مؤثر در تعیین تراز آب زیرزمینی دشت قیدار با استفاده از آنالیز مؤلفه‌های اصلی شناسایی شد. بر اساس نتایج به دست آمده مشخص شد که با حذف چاههایی که اهمیت نسبی آن‌ها کم‌تر از ۵/۰ می‌باشد، خطای تعیین تراز سطح آب زیرزمینی کم‌تر از ۱۳٪ خواهد بود (Noorigheidari 2013). پژوهشی به‌منظور تعیین تعداد بهینه چاههای پیزومتری جهت تخمین سطح آب زیرزمینی آبخوان دشت تبریز با استفاده از روش PCA توسط Hooshangi et al. (2015) انجام شد. نتایج آن‌ها نشان داد که با حذف ۳۰ چاه از ۷۵ چاه موجود در منطقه، می‌توان با افزایش دقت اندازه‌گیری سطح آب در بقیه چاههای پیزومتری باقی‌مانده و صرفه‌جویی در زمان و هزینه، سطح آب زیرزمینی را با دقت خوبی تخمین زد. BabaieHessar et al. (2016) چاههای مؤثر در تعیین سطح تراز آب زیرزمینی دشت ارومیه را شناسایی کردند. در این پژوهش، چاههای کم‌اهمیت با استفاده از آنالیز مؤلفه‌های اصلی تعیین گردید. بر اساس نتایج به دست آمده مشخص شد که با حذف چاههای کم‌اهمیت که تعداد آن‌ها حدوداً نصف کل چاهها است، ضریب تغییرات سطح ایستابی ۵۱٪ کاهش یافت و خطای تعیین سطح ایستابی کم‌تر از ۱۵٪ به دست آمد. Jafarzadeh and Khasheisuki (2018) در پژوهشی به‌منظور پایش کمی آبخوان دشت بیرجند و تعیین نقاط بهینه پیزومترها یک روش جدید تحت عنوان^۱ GNM را پیشنهاد دادند. در روش پیشنهادشده از دو مدل شبکه عصبی و جستجوی گرگ خاکستری به عنوان مدل شبیه‌ساز سطح آب زیرزمینی و مکان‌یابی موقعیت پیزومترها استفاده کردند. نتایج نشان داد با توجه به مقادیر شاخص‌های ارزیابی در قسمت شبیه‌سازی سطح آب زیرزمینی مدل GNM که با استفاده از شبکه عصبی انجام شد، مدل پیشنهادشده از کارایی مناسبی در این زمینه برخوردار بود. در نهایت موقعیت ۱۰ پیزومتر جدید در آبخوان بیرجند با استفاده از مدل GNM تعیین شد. در پژوهشی Kavusi et al. (2019) از الگوریتم بهینه‌سازی ازدحام ذرات PSO به‌منظور

¹Gray wolf and Neural Network Monitoring

محیط زیست و مهندسی آب



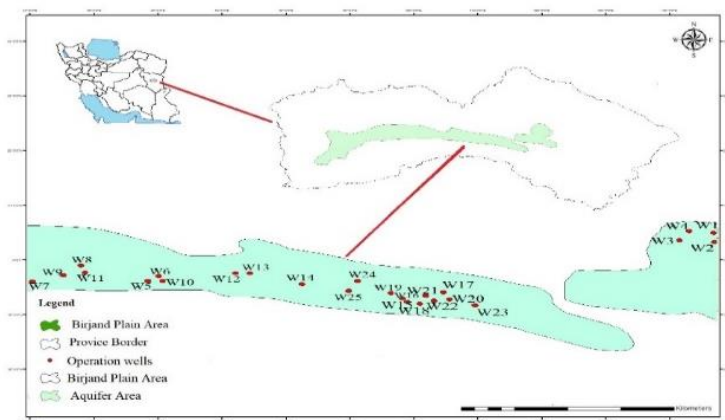
در این پژوهش، از آمار ۲۵ حلقه چاه نظارت شده توسط وزارت نیرو (چاه ۱ مرک (W₁)، چاه ۲ مرک (W₂)، چاه ۳ مرک (W₃)، چاه ۴ مرک (W₄)، چاه ۱ رکات (W₅)، چاه ۲ رکات (W₆)، چاه ۴ رکات (W₇)، چاه ۵ رکات (W₈)، چاه ۶ رکات (W₉)، چاه ۷ رکات (W₁₀)، چاه ۸ رکات (W₁₁)، چاه ۹ رکات (W₁₂)، چاه ۱۰ رکات (W₁₃)، چاه ۱۱ رکات (W₁₄)، چاه ۶ علیآباد (W₁₅)، چاه ۷ علیآباد (W₁₆)، چاه ۸ علیآباد (W₁₇)، چاه ۹ علیآباد (W₁₈)، چاه ۱۰ علیآباد (W₁₉)، چاه ۱۱ علیآباد (W₂₀)، چاه ۱۲ علیآباد (W₂₁)، چاه ۱۳ علیآباد (W₂₂)، چاه ۱۴ علیآباد (W₂₃)، چاه ۳ طهماسبی (W₂₄)، چاه ۴ مدرس (W₂₅) استفاده شده است. برای آنالیز مؤلفه‌های اصلی از داده‌های سالانه کروم آب زیرزمینی این چاهها که از سال ۱۳۹۳ تا ۱۳۹۷ ثبت گردیده، استفاده شده است. در شکل (۱) موقعیت منطقه مورد مطالعه و نحوه پراکنش چاه‌های موردنظری در این پژوهش ارائه شده است.

به مقایسه روش PCA و آنتروپی در طراحی شبکه پایش کروم در منطقه پرداخته خواهد شد.

۲- مواد و روش‌ها

۲-۱- منطقه مورد مطالعه

دشت بیرجند بخشی از حوضه آبریز کویر لوت است. این محدوده در طول جغرافیایی ۵۸ درجه و ۴۵ دقیقه تا ۵۹ درجه و ۴۱ دقیقه شرقی و عرض جغرافیایی ۳۲ درجه و ۳۰ ثانیه تا ۳۳ درجه شمالی و به مرکزیت تقریبی شهر بیرجند واقع گردیده است. این دشت از شرق به ارتفاعات مؤمن‌آباد و سیستان، از جنوب به کوه‌های باقران، بندره و کوه رج، از شمال به ارتفاعات شاه ناصر و اسفدن و از غرب به ارتفاعات چنگدر و گرونگ محدود می‌شود. (Asgari 2011). منشا عناصر سنگین در دشت و شهر بیرجند متعلق به کرتاسه می‌باشد که شامل افیولیت‌ها و آمیزه‌های رنگین است. رسوبات آبرفتی که سراسر دشت را می‌پوشاند، محل ذخیره آب‌های زیرزمینی می‌باشد.



شکل ۱- موقعیت منطقه مورد مطالعه و چاه‌های مورد بررسی

Fig. 1. Location of the study area and wells

چندمتغیره به مؤلفه‌های تجزیه می‌شوند؛ چنان‌که نخستین مؤلفه اصلی (PC₁) تا آنچه که ممکن است، بیشترین واریانس موجود در داده‌ها را توجیه کند. دومین مؤلفه اصلی (PC₂) بیشترین واریانس ممکن بعد از مؤلفه نخست را توجیه کند و تا آخر. استفاده نمود (Noori et al. 2009). هدف از تحلیل مؤلفه‌های اصلی کاهش ابعاد داده‌ها (کاهش تعداد متغیرها) از طریق خلاصه‌سازی تعداد زیادی متغیر اولیه به تعداد کمتری مؤلفه اصلی است. برای این منظور، واریانس موجود در داده‌های

۲-۲- روش آنالیز مؤلفه‌های اصلی (PCA)

PCA از روش‌های آماری چند متغیره می‌باشد که می‌توان از آن برای کاهش پیچیدگی تحلیل متغیرهای اولیه مسئله در مواردی که با حجم زیادی از اطلاعات روبرو هستیم و تفسیر بهتر آن‌ها، استفاده نمود (Noori et al. 2009). هدف از تحلیل مؤلفه‌های اصلی کاهش ابعاد داده‌ها (کاهش تعداد متغیرها) از طریق خلاصه‌سازی تعداد زیادی متغیر اولیه به تعداد کمتری مؤلفه اصلی است. برای این منظور، واریانس موجود در داده‌های

این نسبت، نشان‌دهنده اهمیت هر چاه نسبت به سایر چاه‌ها می‌باشد که در آن، N تعداد دفعاتی که هر چاه به عنوان چاه مؤثر شناخته شده و n تعداد دفعاتی که هر چاه در آنالیز شرکت کرده می‌باشد. هر اندازه اهمیت نسبی یک چاه بیشتر باشد، تأثیر بیشتری در پایش خواهد داشت.

به منظور بررسی اثر حذف هر چاه از محاسبات از دو معیار ضریب تغییرات و خطای پایش استفاده شد. با استفاده از رابطه (۳) مقدار خطای پایش به ازای حذف چاه‌های غیر مؤثر در یک آستانه مشخص از مقایسه میانگین چاه‌های آن آستانه با میانگین کلیه چاه‌ها قابل محاسبه می‌باشد (Gurunathan and Ravichandran 1994)

$$(3) \quad Error = \frac{(m_n - m_0)}{m_0} \times 100$$

که، m_n متوسط مقادیر به ازای حذف چاه‌ها با توجه به اهمیت نسبی محاسبه شده، m_0 متوسط مقادیر کلیه چاه‌های موجود می‌باشد.

جهت در نظر گرفتن تغییرات زمانی در انتخاب چاه‌های مؤثر، آنالیز مؤلفه‌های اصلی در دو دوره زمانی ۲ ساله (۱۳۹۳-۱۳۹۴) و ۳ ساله (۱۳۹۵-۱۳۹۷) انجام شد. طول دوره زمانی با توجه به آمار اخذشده از شرکت آب و فاضلاب خراسان جنوبی در نظر گرفته شد. در این پژوهش برای پیاده‌سازی این روش از نرم‌افزار آماری SPSS.Ver 19 استفاده گردید.

۲-۳- تئوری آنتروپی

آنتروپی در اصل به معنای بی‌نظمی است؛ یعنی هر چقدر میزان بی‌نظمی یک سیستم بیشتر باشد، آنتروپی سیستم بیشتر می‌باشد. Shannon در سال ۱۹۴۸ نشان داد که وقایع با احتمال وقوع زیاد اطلاعات کمتری در اختیار می‌گذارند و بر عکس هر چه قدر احتمال وقوع یک رخداد کمتر باشد، اطلاعات حاصل از آن بیشتر است. با به دست آوردن اطلاعات جدید، در واقع عدم قطعیت‌ها را کاهش داده و ارزش اطلاعات جدید برابر با مقداری است که از عدم قطعیت کاسته شده است. در نتیجه عدم قطعیت

مورد مؤلفه‌های اصلی آن است که این مؤلفه‌ها با چرخش^۱ محورهای مختصات در راستای بیشترین واریانس به دست می‌آیند؛ چنان‌که زاویه بین محورهای مختصات پس از دوران تغییر نمی‌کند (Bazrafshan and Hejabi 2017).

برای محاسبه اهمیت هر چاه، از ضریب همبستگی بین مؤلفه‌های اصلی و داده‌های مشاهده شده استفاده می‌شود. ضریب همبستگی چاه با مؤلفه اصلی از رابطه (۱) به دست می‌آید.

$$(1) \quad Cor(x_i, x_j) = a_{i,j+1}^T \lambda_j a_{i,j}$$

که، $a_{i,j}$ عنصر i ام از مؤلفه اصلی j می‌باشد. هر چه این ضریب بالا باشد، نشان‌دهنده بالا بودن اهمیت نسبی چاه می‌باشد (Sanchez- Martos et al. 2001).

تعداد چاه‌ها (p) طبق یک قاعده کلی باید کمتر یا حداقل برابر تعداد مشاهدات (n) (که در اینجا همان تعداد سال‌های آماری است) باشد (Petersen 2001). با توجه به اینکه در این پژوهش از آمار سالانه داده کیفی کروم آبخوان دشت بیرونی که از سال ۱۳۹۷ تا ۱۳۹۶ ثبت شده در دسترس است، تعداد داده‌ها یا مشاهدات هر چاه ۵ مورد می‌باشد و برای پایش هر چاه از ۵ چاه مجاور استفاده شده است. به طور مثال برای پایش چاه W_{10} از ۵ چاه مجاور یعنی W_5 , W_6 , W_{11} , W_{12} و W_{13} استفاده شد. بنابراین، برای هر چاه یک ماتریس 5×5 وجود خواهد داشت. لازم به ذکر است در پایش از داده‌های خود چاه استفاده نمی‌شود، بلکه تنها از ۵ چاه مجاور استفاده می‌شود. سپس، برای هر کدام از چاه‌ها یکبار آنالیز مؤلفه‌های اصلی انجام شد تا ضریب همبستگی هر چاه با مؤلفه اصلی مشخص شود. در انتخاب چاه‌های مؤثر، چاه‌هایی که ضریب همبستگی کمتر از $0.75/75$ داشته‌اند، حذف شد (Ouyang 2005). بدین ترتیب برای هر بار آنالیز مؤلفه اصلی، تعدادی چاه به عنوان چاه مؤثر شناسایی شدند و در نهایت، تعداد دفعاتی که هر چاه در آنالیز شرکت کرده و همچنین تعداد دفعاتی که به عنوان چاه مؤثر شناخته شده است، مشخص شد. جهت مشخص کردن اهمیت نسبی هر چاه از رابطه (۲) استفاده گردید.

$$(2) \quad \text{Relative importance} = \frac{N}{n}$$

¹Rotation

(۶) به کار برد، اطلاعات دریافتی و ارسالی ایستگاه i ام نیز به صورت رابطه (۷) تعریف می‌شود.

$$R(i) = R(x(i), \hat{x}(i)) \quad (7)$$

(۸) $x(i)$ بیان‌کننده داده‌های چاه i ام و $\hat{x}(i)$ از رابطه خطی (۸) بدست می‌آید.

$$\hat{x}(i) = a(i) + \sum_{j=1}^{I-1} y_j(i) \times b_j(i) \quad (8)$$

(۹) $y(i)$ ماتریس داده‌ها از تمام ایستگاه‌های دیگر و (۱۰) $a(i)$ و $b(i)$ پارامترهای رگرسیون بین ایستگاه i ام و تمام ایستگاه‌های دیگر است که به صورت خطی برآش داده شده است.

روابط فوق بیانگر آن است که مقادیر بزرگ‌تر ($R(i)$ و $S(i)$ به ترتیب به معنای دریافت و ارسال بیشتر اطلاعات بین ایستگاه i ام و سایر ایستگاه‌های شبکه و یا برقراری بهتر ارتباط بین این ایستگاه و سایر ایستگاه‌ها است. بدین ترتیب مقادیر بیشتر ($R(i)$ و $S(i)$ برای یک ایستگاه به معنای ارزش بیشتر ایستگاه یادشده است و حفظ و نگهداری ایستگاه مزبور توصیه می‌شود؛ اما شاخص $N(i)$ با نام اطلاعات خالص تبدیل به صورت رابطه (۹) تعریف می‌شود.

$$N(i) = S(i) - R(i) \quad (9)$$

شاخص $N(i)$ بیان‌کننده اطلاعات کل خالص هر چاه بوده و هر ایستگاهی که کمترین میزان ($N(i)$) را دارد، کمترین رتبه و $Markus$ اهمیت را در شبکه پایش به خود اختصاص می‌دهد (et al. 2003).

۳- یافته‌ها و بحث

جدول (۱) ماتریس ضرایب همبستگی برای پایش چاه شماره ۱۰ را نشان می‌دهد. مطابق این جدول دو مؤلفه PC_1 و PC_2 دارای واپرایانس بیشتری نسبت به سایر مؤلفه‌ها می‌باشند. همچنین چاه‌های W_5 , W_6 , W_{11} و W_{12} را که دارای ضریب همبستگی بالای 0.75 هستند، به عنوان چاه‌های مؤثر در پایش چاه W_{10} انتخاب نمود. این آنالیز برای ارزیابی اثر تمامی چاه‌ها انجام گرفت تا تعداد دفعاتی که هر چاه مؤثر واقع می‌شود، تعیین گردد. سپس

و اطلاعات پارامترها وابسته به هم هستند. به عبارت دیگر، از تئوری آنتروپی می‌توان به عنوان شاخصی برای کمی کردن میزان عدم قطعیت و دانش نسبت به مشخصات یک شبکه استفاده نمود.

طبق تعریف ارائه شده توسط Shannon (1948)، برای دو متغیر گسسته x و y که $x_i, i=1,2,3, \dots, m$ و $y_j, j=1,2,3, \dots, n$ در همان فضای احتمال باشند، هر کدام دارای یک احتمال گسسته وقوع $p(x_i, y_j)$ احتمال وقوع مشترک x_i و y_j و $p(x_i|y_j)$ احتمال رخدادن x_i به شرط y_j می‌باشند (Shannon, 1948).

انتقال اطلاعات در این روش با استفاده از شاخص انتقال اطلاعات نرمال که با ITI^1 نشان داده می‌شود، بیان می‌گردد؛ که میزان اطلاعات استانداردی که از یک مکان به مکان دیگری منتقل می‌شود را نشان می‌دهد (رابطه ۴).

$$ITI = \frac{T(x, y)}{H(x, y)} \quad (4)$$

که در آن $T(x, y)$ آنتروپی انتقال اطلاعات و $H(x, y)$ آنتروپی مشترک داده‌هاست.

همچنین می‌توان سه شاخص $(S(i), R(i)$ و $N(i))$ را با استفاده از رابطه (۵) و به صورت یک تبدیل کسری آنتروپی x با نماد $R(x, y)$ که یک کاهش عدم قطعیت از x اگر y معلوم باشد و درواقع اطلاعات دریافتی توسط x از y نیز است، تعریف نمود.

$$R(x, y) = \frac{T(x, y)}{H(x)} \quad (5)$$

که می‌تواند به عنوان یک کاهش عدم اطمینان از x در صورتی که y معلوم باشد یا به بیان دیگر میزان اطلاعات دریافتی چاه x از چاه y را نشان می‌دهد. همانند اطلاعاتی که از x به y فرستاده شده است، به صورت رابطه (۶) تعریف می‌شود.

$$S(x, y) = \frac{T(x, y)}{H(y)} \quad (6)$$

معادلات بالا روابط بین دو متغیر x و y را بیان می‌کند. همین استدلال را می‌توان برای هر یک از چاه‌ها با استفاده روابط (۵) و

^۱Information Transfer Index

جدول (۲) اهمیت نسبی هر چاه در منطقه مورد مطالعه را نشان می‌دهد. هر چاهی که دارای رتبه بالاتری باشد، از اهمیت بیشتری برخوردار است. با توجه به رتبه‌بندی چاهها، در آستانه ۰، کلیه چاهها در آنالیز شرکت داده می‌شوند و در آستانه ۱، چاه‌هایی که دارای رتبه ۱ هستند، موردن قبول واقع می‌شوند. با توجه به جدول (۲) تعداد ۶ چاه با رتبه ۱ وجود دارد. به این معنی که از بین تمامی چاهها، چاه‌های W_3 , W_4 , W_7 , W_{12} , W_{13} و W_{25} از بالاترین اهمیت برخوردارند و به همان تعداد که در آنالیز شرکت کرده‌اند، به عنوان چاه مؤثر شناخته شده‌اند. تعداد چاه‌های مؤثر برای هر آستانه به ترتیب برابر با ۲۵، ۲۳، ۲۰، ۹ و ۶ خواهد

با توجه به مشخص بودن تعداد دفعاتی که یک چاه در آنالیز مؤلفه‌های اصلی شرکت داده شده است، اهمیت نسبی هر چاه محاسبه می‌شود.

جدول ۱- ماتریس ضریب همبستگی پایش چاه ۱۰

Table 1 Correlation Coefficient Matrix of W10 Well Monitoring

Principal Component (PCj)	Wells (Wi)			
PC ₂	PC ₁	W ₅	W ₆	W ₁₁
-0.508	0.842	W ₅	W ₆	W ₁₁
0.198	0.972			
0.911	0.298			
0.488	0.837			
-0.841	0.524			

. بود.

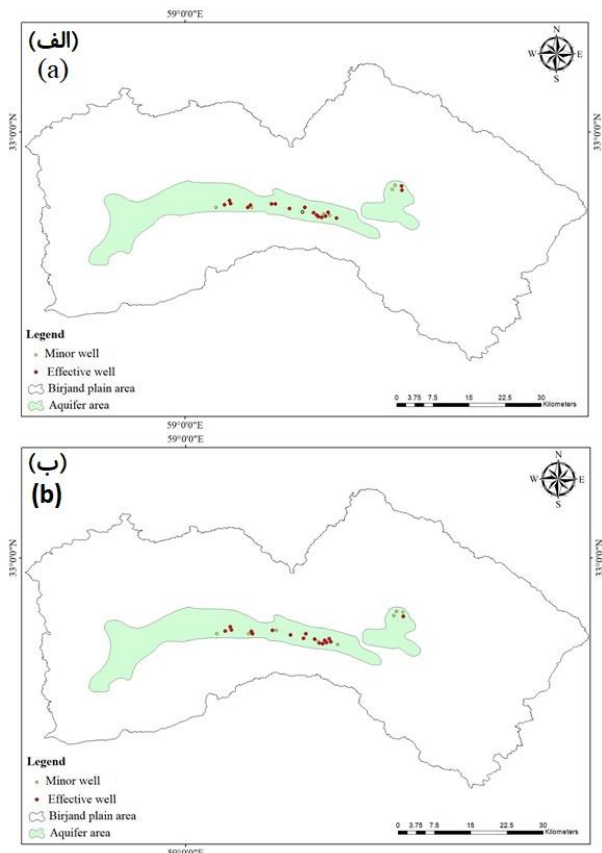
جدول ۲- رتبه‌بندی چاهها بر اساس آنالیز مؤلفه‌های اصلی

Table 2 Wells ranking based on principal component analysis

Rank	Number of times they participated in the analysis.	Number of times it has been identified as an effective well.	Well	Rank	Number of times they participated in the analysis.	Number of times it has been identified as an effective well.	Well
0.60	5	3	W ₁₀	1.00	3	3	W ₃
0.60	5	3	W ₁₆	1.00	3	3	W ₄
0.57	7	4	W ₂₁	1.00	3	3	W ₇
0.56	9	5	W ₅	1.00	4	4	W ₁₂
0.50	6	3	W ₁₈	1.00	1	1	W ₂₄
0.43	3	3	W ₁₅	1.00	1	1	W ₂₅
0.40	5	2	W ₁₄	0.89	9	8	W ₆
0.33	6	2	W ₁₁	0.86	7	6	W ₂₀
0.33	6	2	W ₂₃	0.86	7	6	W ₂₂
0.20	5	1	W ₉	0.75	4	3	W ₁₉
0.00	4	0	W ₈	0.67	3	2	W ₁
0.00	2	0	W ₁₃	0.67	3	2	W ₂
				0.67	3	2	W ₁₇

متوسط ضریب تغییرات تغییر چندانی نمی‌کند، یعنی اگر حد آستانه بین ۰ تا ۰/۶ باشد، با حذف چاه‌های کم‌اهمیت خطای چندانی در نمایش مقدار کروم آب زیرزمینی آبخوان رخ نمی‌دهد. ولی اگر حد آستانه از ۰/۶ بالاتر رود یعنی چاه‌های زیادی حذف شوند، ضریب تغییرات زیاد می‌شود؛ بنابراین، حد آستانه مطلوب ۰/۰ بوده که در این آستانه از ۰/۶ حلقه چاه، ۱۵ حلقه به عنوان چاه مؤثر شناسایی شده و بقیه چاه‌ها به عنوان چاه‌های کم‌اهمیت شناخته می‌شوند. بدین ترتیب با ۱۵ حلقه چاه در منطقه می‌توان شکل (۲) متوسط ضریب تغییرات در مقابل حد آستانه رسم شده است. بدین ترتیب که ضریب تغییرات برای هر سال آماری محاسبه و پس از برآورد مقدار متوسط آن، در مقابل حد آستانه رسم شد. با توجه به شکل (۲) در حد آستانه ۰ تا ۰/۶ مقدار

و مقدار آن کمتر از ۱۳٪ خواهد بود. شکل (۴) جانمایی چاههای مؤثر را در منطقه موردمطالعه طی دوره زمانی ۵ yr ۱۳۹۷-۱۳۹۳ نشان می‌دهد. منشاً این پارامتر در منطقه، لیستونیت‌های کربناته و شیل‌های کربناته مربوط به مجموعه افیولیتی از تشکیلات کرتاسه باشد.

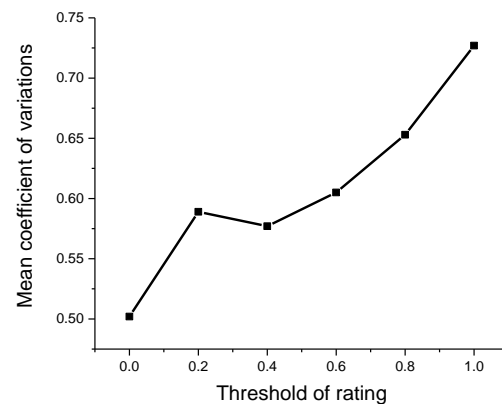


شکل ۴- جانمایی چاههای مؤثر در تعیین میزان کروم آب زیرزمینی آبخوان دشت بیرجند طی دوره‌های زمانی مختلف: (الف) ۹۴-۱۳۹۳ و (ب) ۹۷-۱۳۹۵

Fig 5. Location of effective wells in determination of groundwater chromium content of Birjand aquifer during different time periods: a) 2015-16 and b) 2017-19

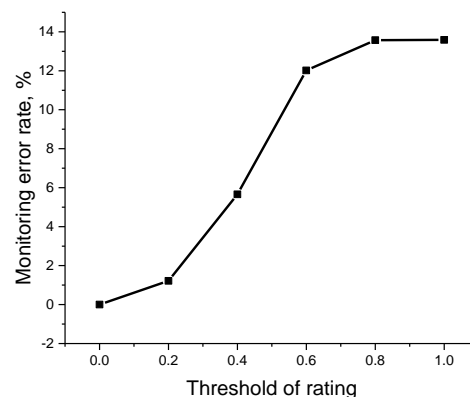
جهت در نظر گرفتن تغییرات طی دوره‌های زمانی مختلف، آنالیز مؤلفه‌های اصلی در انتخاب چاههای مؤثر، در دو دوره زمانی yr ۲ (۱۳۹۳-۱۳۹۴) و yr ۳ (۱۳۹۷-۱۳۹۵) انجام شد. جدول (۳) تعداد چاههای موجود در هر آستانه را طی دوره‌های زمانی مختلف نشان می‌دهد. با توجه به شکل (۴) نتایج نشان داد که در دوره yr ۲ ساله (۱۳۹۳-۱۳۹۴) از مجموع ۲۵ چاه

همچنین با استفاده از رابطه (۳) خطای پایش نیز محاسبه گردید و میزان این خطای برای حد آستانه‌های مختلف در شکل (۳) ارائه شده است.



شکل ۲- متوسط ضریب تغییرات در مقابل حد آستانه رتبه‌بندی

Fig 2. Average coefficient of variations against the threshold of rating



شکل ۳- میزان خطای پایش در مقابل حد آستانه رتبه‌بندی

Fig 3. Monitoring error rate against the rating threshold
مقدار خطای حد آستانه ۰/۶ برابر ۱۲/۰٪ می‌باشد یعنی با حذف ۱۰ چاه کم‌آهمیت میزان خطای ۲/۱۲٪ نسبت به حالتی که از تمامی چاه‌ها استفاده گردد، افزایش می‌یابد. همچنین مقدار خطای از حد آستانه ۰/۶ به بالا افزایش می‌یابد؛ بنابراین از روی خطای پایش، حد آستانه مطلوب ۰/۶ می‌باشد؛ بنابراین می‌توان ۱۵ چاهی را که در این حد آستانه باقی‌مانده‌اند، به عنوان چاههای مؤثر در پایش کروم آب زیرزمینی دشت بیرجند در نظر گرفت. بررسی به عمل آمده توسط Noorigheidari (2013) نشان داد که با حذف چاه‌هایی که اهمیت نسبی آن‌ها کمتر از ۰/۵ می‌باشد خطای تعیین تراز سطح آب زیرزمینی افزایش چندانی نمی‌کند

جدول (۴) نتایج رتبه‌بندی چاه‌های موجود در منطقه (Ni) را بر اساس تئوری آنتروپی نشان می‌دهد که همه چاه‌های موجود اهمیت یکسانی دارند و چاه شماره ۲۲ رتبه بالاتر و از اهمیت بیشتری برخوردار است. همچنین کلیه چاه‌های موجود در منطقه رتبه یکسانی را در مورد انتقال اطلاعات (ITI(i)) مقادیر کروم دریافت کرده‌اند که نشان‌دهنده انتقال و دریافت اطلاعات بیشتر نسبت به سایر چاه‌ها است. به عبارت دیگر این چاه‌ها ارزش حفظ بیشتری نسبت به چاه‌های دیگر دارند و داده‌های این چاه‌ها را می‌توان با اطمینان کامل برداشت و استفاده کرد. از مقایسه این دو روش می‌توان چنین برداشت کرد که روش PCA به دلیل استفاده از واریانس موجود در بین داده‌ها و چاه‌های موجود در اطراف هر چاه نقش مؤثرتری در شناسایی چاه‌های کم‌اهمیت و صرفه‌جویی در هزینه و زمان برداشت داده در منطقه مورد مطالعه ایفا می‌کند.

موردمطالعه در منطقه ۱۹ چاه (آستانه ۰/۶) و طی سال‌های ۱۳۹۵-۱۳۹۷، ۱۷ چاه (آستانه ۰/۶) به عنوان چاه مؤثر انتخاب گردید.

جدول (۳) تعداد چاه‌های هر آستانه طی دوره‌های زمانی مختلف
Table 3 Number of wells each threshold over different time periods

Period	Threshold	Number of wells
2015-16	1	17
	0.8	17
	0.6	19
	0.4	22
	0.2	22
	0	25
2017-19	1	7
	0.8	7
	0.6	17
	0.4	19
	0.2	20
	0	25

جدول ۴- رتبه‌بندی چاه‌های موجود در منطقه بر اساس شاخص‌های Ni و ITI(i)

Table 4 Ranking of wells in the region based on Ni and ITI(i) indices

Rank ITI(i)	Well	Rank ITI(i)	Well	Rank Ni	Well	Rank Ni	Well
1.00	W ₁₄	1.00	W ₁	0.00	W ₁₄	0.00	W ₁
1.00	W ₁₅	1.00	W ₂	0.00	W ₁₅	0.00	W ₂
1.00	W ₁₆	1.00	W ₃	0.00	W ₁₆	0.00	W ₃
1.00	W ₁₇	1.00	W ₄	0.00	W ₁₇	0.00	W ₄
1.00	W ₁₈	1.00	W ₅	0.00	W ₁₈	0.00	W ₅
1.00	W ₁₉	1.00	W ₆	0.00	W ₁₉	0.00	W ₆
1.00	W ₂₀	1.00	W ₇	0.00	W ₂₀	0.00	W ₇
1.00	W ₂₁	1.00	W ₈	0.00	W ₂₁	0.00	W ₈
1.06	W ₂₂	1.00	W ₉	0.06	W ₂₂	0.00	W ₉
1.00	W ₂₃	1.00	W ₁₀	0.00	W ₂₃	0.00	W ₁₀
1.00	W ₂₄	1.00	W ₁₁	0.00	W ₂₄	0.00	W ₁₁
1.00	W ₂₅	1.00	W ₁₂	0.00	W ₂₅	0.00	W ₁₂
			W ₁₃			0.00	W ₁₃

- از بین ۲۵ چاه موجود در منطقه مورد مطالعه، ۱۵ حلقه چاه به عنوان چاه مؤثر و بقیه چاه‌ها به عنوان چاه‌های کم‌اهمیت شناخته می‌شوند.
- در دوره زمانی ۲ yr (۱۳۹۳-۱۳۹۴) ۱۹ حلقه چاه به عنوان چاه مؤثر انتخاب شدند که در دوره زمانی ۳ yr (۱۳۹۵-۱۳۹۷) این تعداد به ۱۷ حلقه چاه تقلیل پیدا کرد.

۴- نتیجه‌گیری

در این پژوهش پارامتر کروم آب زیرزمینی چاه‌های مختلف آبخوان دشت بیرون از استفاده از آنالیز مؤلفه‌های اصلی و تئوری آنتروپی مورد بررسی قرار گرفت. همچنین جهت در نظر گرفتن عامل زمان در تغییرات این روش در دو دوره زمانی ۲ و ۳ yr انجام شد. نتایج این پژوهش نشان داد که :

سپاسگزاری

این پژوهش در قالب طرح پژوهشی به شماره ابلاغیه ۱۳۹۸/۰۶/۱۰ مورخ ۱۳۹۸/۵/۱۰ برخوردار است که بدینوسیله سپاسگزاری می‌گردد.

دسترسی به داده‌ها

داده‌های این پژوهش از شرکت آب و فاضلاب استان خراسان جنوبی اخذ شده است که بعد از اخذ مجوز از این شرکت قابل ارائه می‌باشد.

-۳- بر اساس تئوری آنتروپی نشان داده شد که کلیه چاههای موجود در منطقه از اهمیت یکسانی در طراحی شبکه پایش برخوردار هستند.

البته پیشنهاد می‌شود که تمامی برسی‌های صورت گرفته در این پژوهش برای شبکه‌های پایش چند داشت دیگر انجام و نتایج با نتایج حاصل از این پژوهش مقایسه گردد. حصول نتایج مشابه می‌تواند اطمینان بیشتر از صحت نتایج به دست آمده و مباحث مطرح شده در این پژوهش باشد. همچنین برسی‌های صورت گرفته در این پژوهش جهت توسعه شبکه پایش فصلی و شبکه پایش مبتنی بر چند پارامتر کیفی برای محققین آینده استفاده گردد.

References

- Alves, J. P. H. A., Fonseca, L. C., Chielle, R. S. A. and Macedo, L. C. B. (2018). Monitoring water quality of the Sergipe River basin: an evaluation using multivariate data analysis. *Revista Brasileira de Recursos Hídricos Brazilian. J. Water Resour.*, 23, 1-12.
- Asgari, M. S. (2011). Hydrochemical study of Birjand aquifer. M.Sc., Faculty of Engineering, Department of Mining Engineering, Birjand University [In Persian].
- Asgharimoghaddam, A. and Adigozalpour, A. (2016). Investigation of Aluminum, Iron, Manganese, Chromium and Cadmium Concentrations in Groundwater of Oshnavieh Plain. Iran. *J. Ecohydro.*, 3, 167-179 [In Persian].
- Babaeihessar, S., Hamdami, Q. and Ghasemieh, H. (2016). Identify the Effective Wells in Determination of Groundwater Depth in Urmia Plain Using Principle Component Analysis. *J. Water. Soil.*, 31, 10-50 [In Persian].
- Bazrafshan, J. and Hejabi, S. (2017). Drought Monitoring Methods. University of Tehran Press [In Persian].
- Gurunathan, K. and Ravichandran, S. (1994). Analysis of water quality data using a multivariate statistical technique- a case study. IAHS Pub, 219pp.
- Farpoor, F., Ramezani, Y. and Akbarpour, A. (2019). Numerical Simulation of Chromium Changes Trend in Aquifer of Birjand plain. Iran. *J. Irrig. Drain.*, 12(5), 1203-1216 [In Persian].
- Hooshangi, N., Aleshaikh, A. A. and Nadiri, A. A. (2015). Optimization of Piezometers Number for Groundwater Level Prediction Using PCA and Geostatistical Methods. *Water. Soil. Sci.*, 25, 53-66.
- Hu, S., Luo, T. and Jing, C. (2013). Principal component analysis of fluoride geochemistry of groundwater in Shanxi and Inner Mongolia, China. *J. Geo. Explor.*, 135, 124-129.
- Ishtiyaq, N., Anisa, K. and Abdul, H. (2017). Evaluation of seasonal variability in surface water quality of Shallow Valley Lake, Kashmir, India, using multivariate statistical techniques. *Pollu.*, 3, 349-362.
- Jafarzadeh, A. and Khasheisiuki, A. (2018). Performance examination of optimization model of groundwater monitoring network based on Gray wolf and Neural network (GNM) (Case study: Birjand plain). *J. Irrig. Water. Engin.*, 8, 121-139.
- Kavusi, M., Khasheisiuki, A. and Dastourani, M. (2020). Optimal Design of Groundwater Monitoring Network Using the Combined

- Election-Kriging Method. Springer;European Water. Res. Asso. (EWRA), 34, 2503- 2516.
- Kavusi, M., Khasheisiuki, A., Porrezabilondi, M. and Najafi, M. H. (2019). Application of New LSSVM-PSO Optimization-Simulation Model in Designing Optimal Groundwater Level Network Monitoring. *Iran. J. Ecohydro.*, 5, 1306-1319.
- Khodaverdi, M., Hashemi, S. R., Khasheisiuki, A. and Porrezabilondi, M. (2020). Optimal Design of Groundwater-Quality Sampling Networks with MOPSO-GS (Case Study: Neyshabour Plain). *J. Water. Irrig. Manag. (J. Agric.)*, 9, 199-210 [In Persian].
- Markus, M., Knapp, H. V. and Tasker, G. D. (2003). Entropy and generalized least square methods in assessment of the regional value of stream gages. *J. Hydro.*, 283: 107-121.
- Mohammadzadeh, H. and Heydarizad, M. (2011). Hydrochemical and stable isotopes study (O18 and H2 surface and groundwater resources) Andarkh Karstic region (north of Mashhad). *Earth. Sci. Res.*, 2, 59-69 [In Persian].
- Mogheir, Y. and Singh, V. P. (2003). Specification of information needs for groundwater management planning in developing country. *Groundwater Hydrology*, Balema Publisher, Tokyo, 2, 3-20.
- Mogheir, Y., De Lima, J. L. M. P. and Singh, V. P. (2004). Characterizing the spatial variability of groundwater quality using the entropy theory: I. Synthetic data. *Hydro. Pro.*, 18(11), 2165-2179.
- Noori, R., Abdoli, M. A., Ameri Ghasrodashti, A. and Jalili Ghazizade, M. (2009). Prediction of municipal solid waste generation with combination of support vector machine and principal component analysis: A case study of Mashhad. *Enviro. Pro. Sust. Ener.*, 28, 249-258 [In Persian].
- Noorighidari, M. H. (2013). Determination of Effective Wells to Monitor the Ground Water Level Using the Principal Components Analysis. *J. Sci. Techno. Agri. Nat. Resour.*, 17, 149-159 [In Persian].
- Ouyang, Y. (2005). Evaluation of river water quality monitoring stations by principal component analysis. *Water. Res.*, 39, 2621-2635.
- Petersen, W. (2001). Process identification by principal component analysis of river water-quality data. *Eco. Model.*, 138.
- Rahnama, S. and Sayari, N. (2019). Survey and Trends of Chemical Water Quality Parameters of Tajan River Water Quality Using Principal Component Analysis and Aqua Chem Software. *Human. Enviro.*, 48, 13-25 [In Persian].
- Rajaei, Q., Hasanzadeh, M. and Mehdinejad, M. H. (2012). Heavy Metals Concentration (Zinc, Lead, Chrome and Cadmium) in Water and Sediments of Gorgan Gulf and Estuarine Gorganroud River, Iran. *Health. Sys. Res.*, 8, 748-756 [In Persian].
- Rezaei, E., Khasheisuki, A. and Shahidi, A. (2015). Design of Groundwater Level Monitoring Network, Using the Model of Least Squares Support Vector Machine (LS-SVM). *Iran. J. Soil. Water. Res.*, 45, 389-396 [In Persian].
- Sanchez- Martos, F., Jimenez- Espinosa, R. and Pulido- Bosch, A. (2001). Mapping groundwater quality variables using PCA and geostatistics: a case study of Bajo Andarax, southeastern Spain. *Hydro. Sci. J.*, 46, 227- 242.
- Shahriyari, A., Goleirozy, K. and NOSHIN, S. (2010). Muscular concentration of cadmium and lead in carp, mullet and kutum of the Gorgan Bay, Caspian Sea. *Iran. Fish. Sci. Rese. Inst.*, 19, 95-100 [In Persian].
- Shahryari, T., Moashery, B. and Sharifzadeh, G. (2011). Concentrations of chromium and copper in the ground water and drinking water distribution network of Birjand, 2009-2010. *J. Birjand Univ Med Sci.*, 18 (1): 62-67 [In Persian].
- Shannon, C. E. (1948). A mathematical theory of communication, *Bell. Sys. Tech. J.*, 27:379-423.
- Zhao, Y., Xia, X. H., Yang, Z. F. and Wang, F. (2012). Assessment of water quality in Baiyangdian Lake using multivariate statistical techniques. *Proc. Enviro. Sci.*, 13, 1213-1226.

Research Paper

Comparison of Birjand Plain Aquifer Chromium Monitoring Network Using Principal Component Analysis (PCA) and Entropy Theory

Abbas KhasheiSiuki^{1*}, Ali Shahidi² and Samira Rahnama³

¹Professor, Department of Water Science and Engineering, Faculty of Agriculture, University of Birjand, Birjand, Iran

²Assoc. Professor, Department of Water Science and Engineering, Faculty of Agriculture, University of Birjand, Birjand, Iran

³Ph.D. Scholar, Department of Water Science and Engineering, Faculty of Agriculture, University of Birjand, Birjand, Iran

***Corresponding author:** abbaskhashei@birjand.ac.ir

Received: October 25, 2020

Revised: December 12, 2020

Accepted: December 23, 2020

Abstract

In order to efficiently and effectively manage groundwater resources, it is very important to determine the important points for sampling in terms of reducing the sample size and saving cost and time. In this study, the main chrome monitoring network of Birjand plain aquifer was designed using principal component analysis method and entropy theory, which is a practical method in evaluating quality monitoring systems. For this purpose, 25 aquifers of Birjand plain with a statistical length of 5 yr (2015-2019) were surveyed. In the study area, the average annual chromium (hexavalent) of groundwater was studied using principal component analysis technique and entropy theory to determine the effective sampling wells in the aquifer of this plain. The results showed that out of 25 wells in the study area, 15 wells can be introduced as groundwater chromium index wells of Birjand plain aquifer having a good distribution in the area that can play an important role in reducing sampling costs. Moreover, in order to consider the time factor in the changes, this method was performed in two time periods of 2 and 3 yr. The results showed that in the period of 2 yr (2015-2016), 19 wells were selected as effective wells, while the number reduced to 17 wells in the period of 3 yr (2017-2019). Entropy theory showed that all wells in the region are of equal importance in monitoring network design.

Keywords: Birjand Plain; Effective Well; Groundwater; Principal Component Analysis